

Sheet06

Computational Physics

1. Juni 2023

1 Solution 1

1. Zum Warmlaufen wird die Abbildung $N = 30$ mal durchiteriert. Die Zahl wird relativ willkürlich gewählt, solle aber nicht zu niedrig sein.

Überlegungen für das Maximale r : Werden die möglichen Werte $f(x) \equiv x_{n+1}$ gegen x_n aufgetragen entstehen umgedrehte Parabeln, wobei die x -position des Maximums/Scheitelpunkts r -unabhängig ist:

$$f'(x) = r(1 - 2x) \stackrel{!}{=} 0 \quad (1)$$

$$\Rightarrow x_0 = 0.5 \quad (2)$$

$$\Rightarrow f(x_0) = r(x_0 - x_0^2) \stackrel{!}{=} 1 \quad (3)$$

$$\Rightarrow r = 4 \quad (4)$$

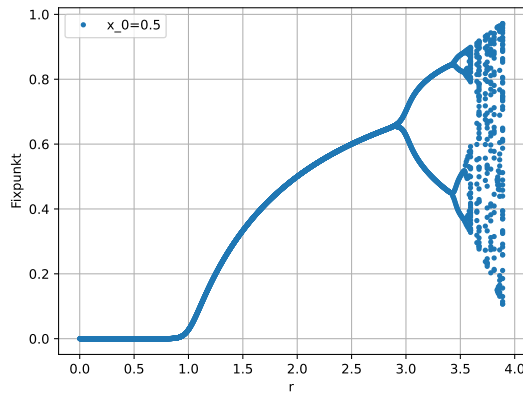
r ist also Maximal 4.

- b)** Es wird grafisch herausgefunden, dass $r \leq 3$ sein darf.

- 2./3. r wird systematisch in Schritten $\Delta r = 0.001$ variiert. Jeder r -Wert erzeugt jeweilige Fixpunkte, welche dann in r -Abhängigkeit in ein Diagramm aufgetragen werden. Es werden verschiedene Startwerte x_0 verwendet.

b)

(a) $x_0 = 0.5$



(b) $x_0 = 0.1$

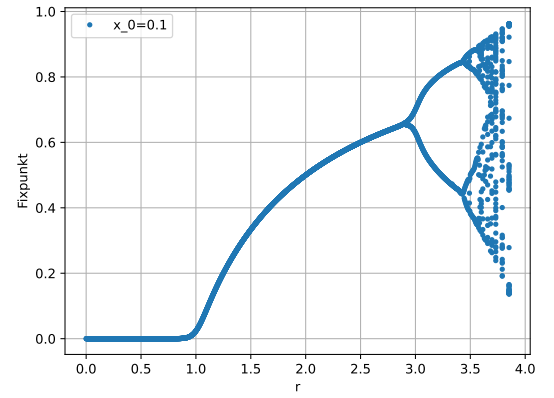
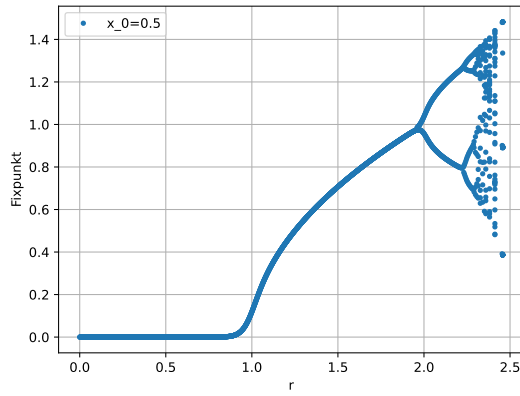


Abbildung 1: Bifurkationsdiagramm der logistischen Abbildung.

(a) $x_0 = 0.5$



(b) $x_0 = 0.1$

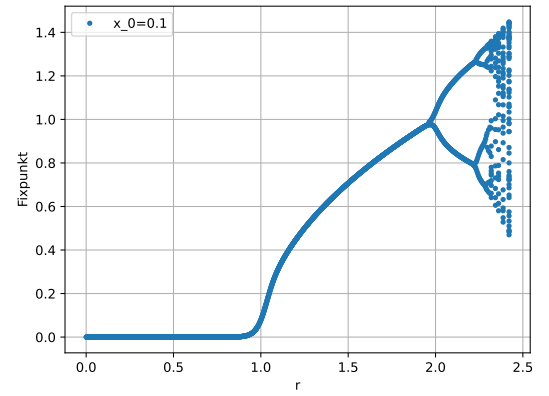


Abbildung 2: Bifurkationsdiagramm der kubischen Abbildung.

Tabelle 1: Werte r_∞ für die logistische Abbildung.

x_0	r_∞
0.1	3.853
0.3	3.632
0.5	3.889
0.7	3.632
0.9	3.732

Tabelle 2: Werte r_∞ für die kubische Abbildung.

x_0	r_∞
0.1	2.421
0.3	2.102
0.5	2.457
0.7	2.346
0.9	2.323

2 Solution 2

- a) In the second exercise we were asked to solve the Lorentz equations

$$\begin{aligned}\dot{X} &= -\sigma X + \sigma Y \\ \dot{Y} &= -XZ + rX - Y \\ \dot{Z} &= XY - bZ\end{aligned}$$

with the fourth order Runge-Kutta scheme. The implementation can be found in file "2.cpp". The parameters r, σ and b were given as:

$$\begin{aligned}r &= 20 \text{ or } 28 \\ \sigma &= 10 \\ b &= 8/3\end{aligned}$$

In the following plots one can clearly see that a change in the starting parameter such as r results in a different behaviour. One gives a stable orbit around an attractor, the other falls into the attractor. Other parameters show even different behaviour. However, the starting position does not influence the trajectory.

- b) After the implementation we were asked to visualize our solution. This should be done in three ways
1. First as a projection of the trajectory on the xy-plane.

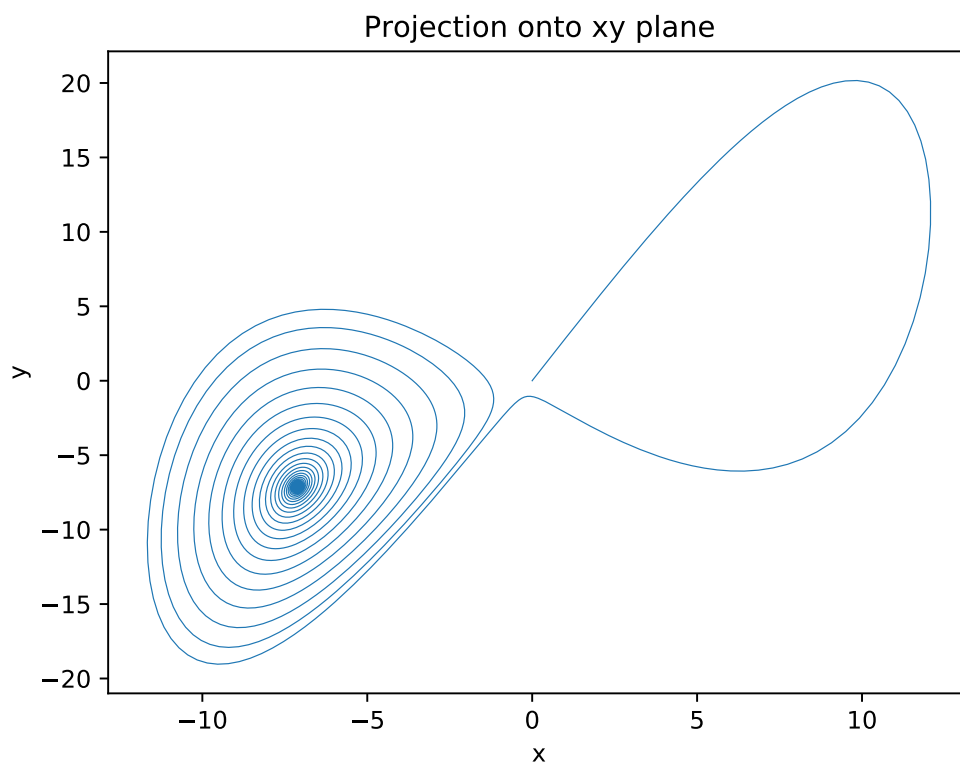


Abbildung 3: The projection of the trajectory onto the xy-plane with the starting parameter $r = 20$.

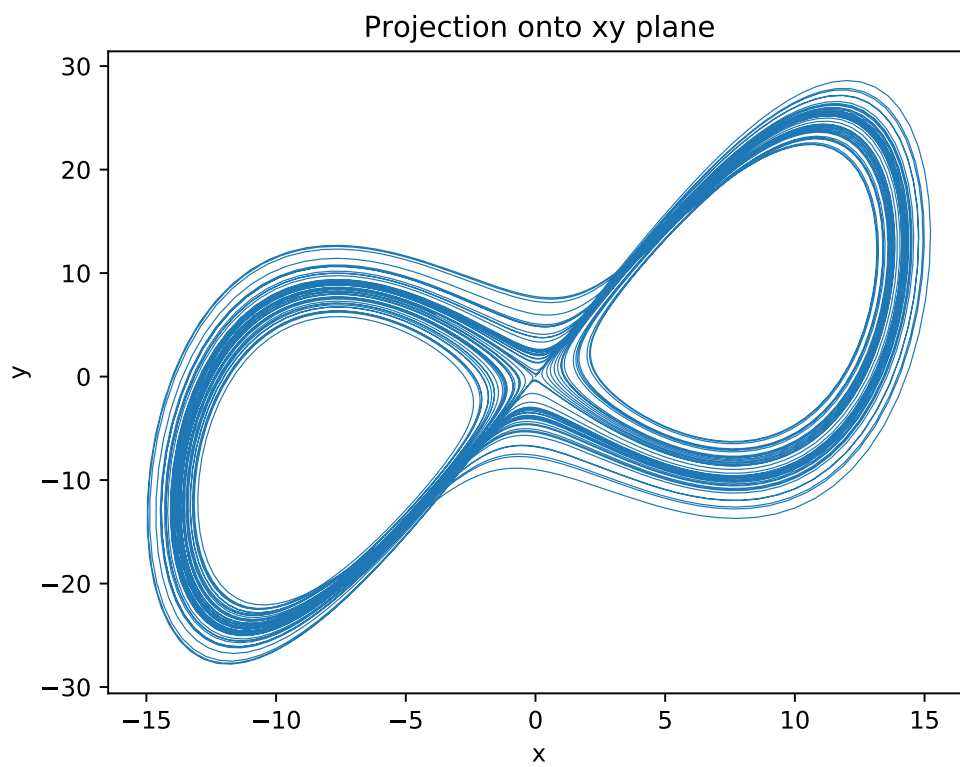


Abbildung 4: The projection of the trajectory onto the xy-plane with the starting parameter $r = 28$.

2. As a Poincare slice at $Z = 20$ with the condition that $\dot{Z} < 0$. We tested for this condition by subtracting the $\vec{f}(t_i)$ with $\vec{f}(t_{i+1})$. If the result is basically a linear interpolation between point $\vec{f}(t_i)$ and $\vec{f}(t_{i+1})$. We then plotted all points that fulfill the two conditions onto a xy-plane.

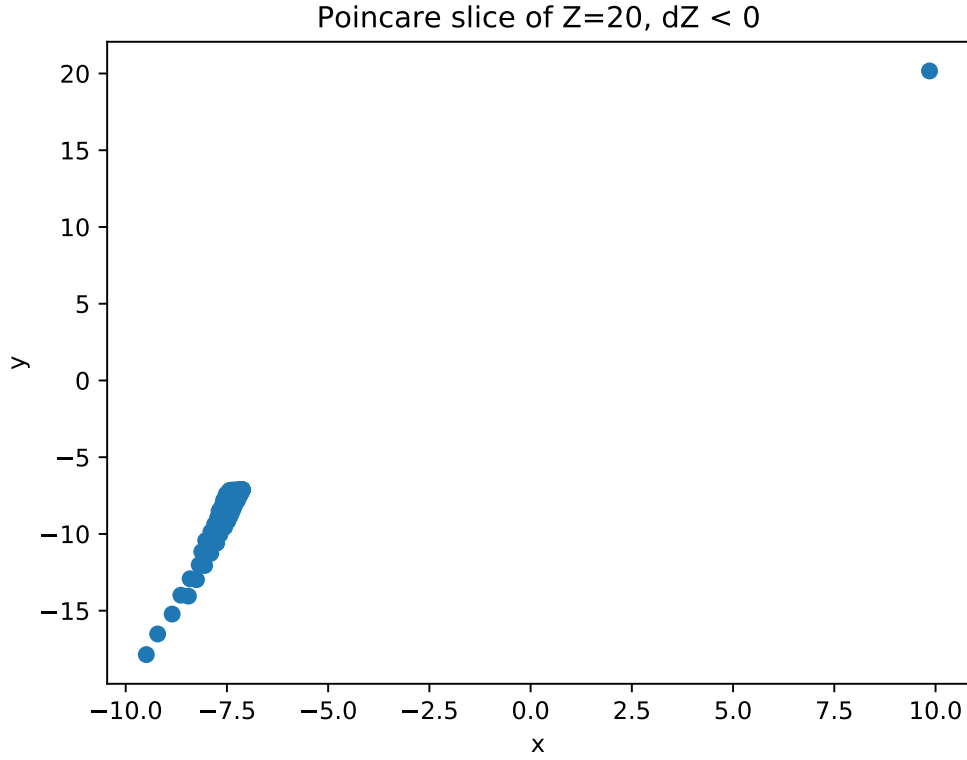


Abbildung 5: The Poincare slice of the trajectory onto the xy-plane with the starting parameter $r = 20$.

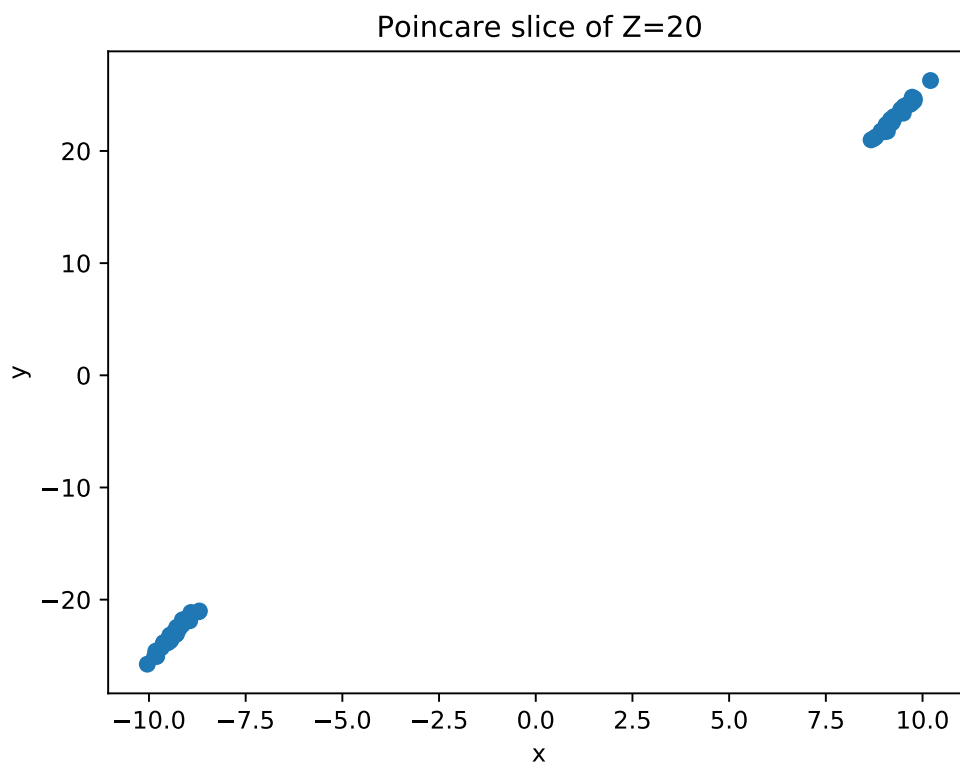


Abbildung 6: The Poincare slice of the trajectory onto the xy-plane with the starting parameter $r = 28$.

3. For the last part we plotted the whole xyz-trajectory onto a 3d-plot.

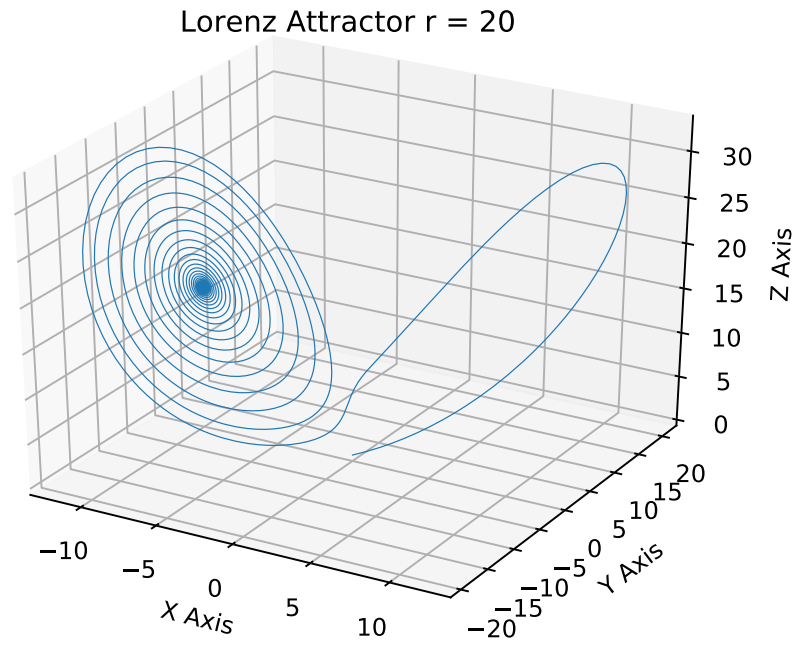


Abbildung 7: The 3d-Plot of the trajectory with the starting parameter $r = 20$.

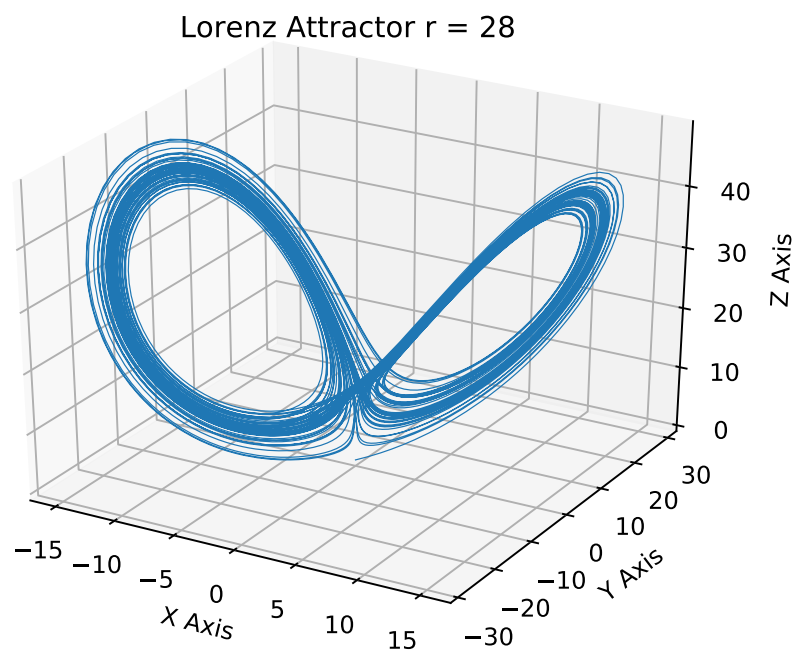


Abbildung 8: The 3d-Plot of the trajectory with the starting parameter $r = 28$.